



FUNDAMENTALS OF INFORMATION SCIENCE

PART 4 INFORMATION TRANSMISSION

—— ANALOG MODULATION & SAMPLING

Shandong University
2025 Spring

调制简介

何谓
调制？

■ 调制定义

比喻——货物运输：

将 货物 装载到 飞机/轮船 的某个仓位上

调制：把 消息信号 搭载到 载波 的某个参数上。

载波：某种高频周期性振荡信号，如正弦波。

受调载波称为**已调信号**，含有消息信号特征。

解调：调制的逆过程，从已调信号中恢复消息信号。

为什么要
进行调制？

■ 调制目的

- 进行频谱搬移，匹配信道特性，减小天线尺寸；
- 实现多路复用，提高信道利用率；
- 改善系统性能（有效性、可靠性）；
- 实现频率分配 ...



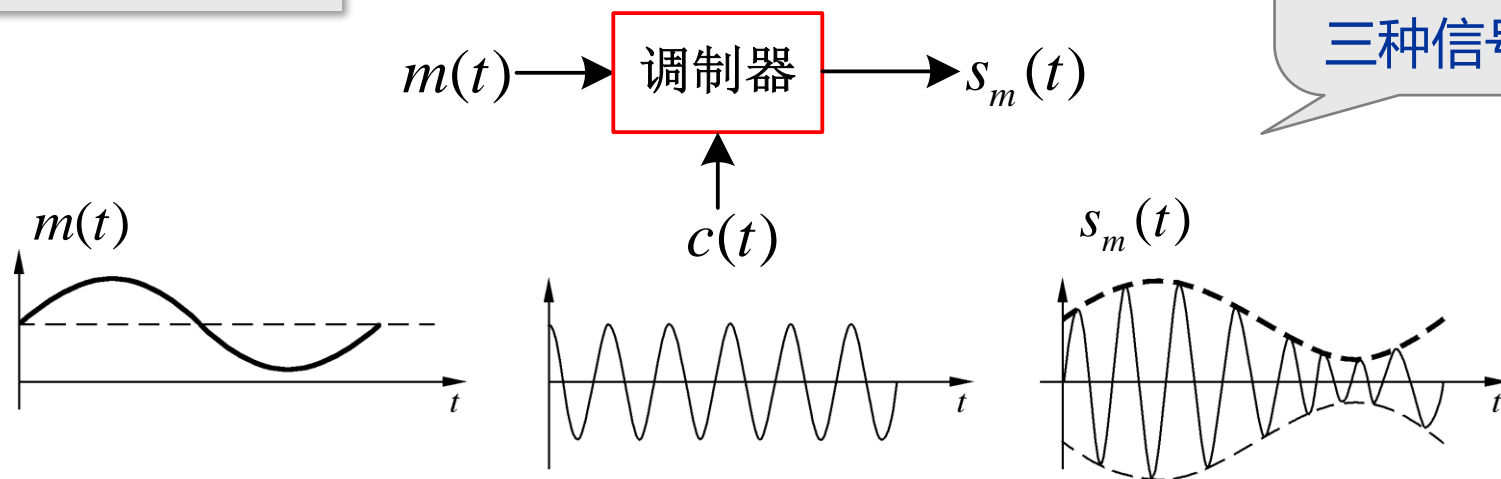
看来，调制在通信系统中起着至关重要的作用！



对呀，不同的调制方式，具有不同的特点和性能！

■ 调制分类

认识一下
调制过程
所涉及的
三种信号



调制信号

消息信号
基带信号

同义词

载 波

正弦波
脉冲序列

运载工具

已调信号

受调载波
含有 $m(t)$ 信息

多种形式

--- 可从不同角度分类:

都有哪些
调制方式?

按调制信号
 $m(t)$ 的类型分

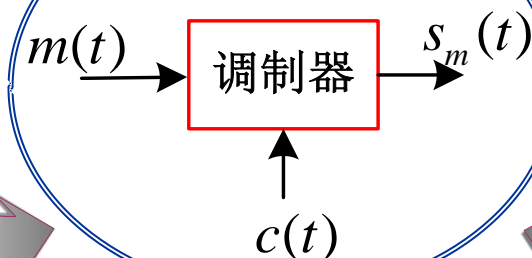
- 模拟调制
- 数字调制

按已调信号的
频谱结构分

- 线性调制
- 非线性调制

按正弦载波
的受调参量分

- 幅度调制
- 频率调制
- 相位调制



按载波信号
 $c(t)$ 的类型分

- 连续波调制
- 脉冲调制

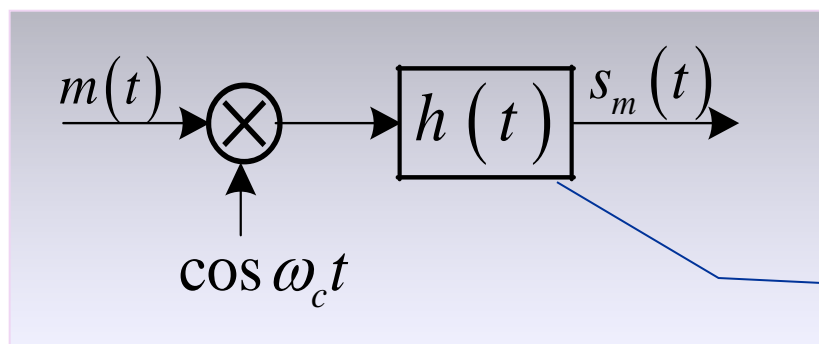
这里重点考虑模拟调制方式：

——是以正弦信号 $c(t) = A \cos(\omega_c t + \varphi)$ 作为载波的

- 幅度调制（线性）：AM、DSB
SSB、VSB
- 角度调制（非线性）：FM、PM

§ 19.1 幅度调制（线性调制）的原理

■ 一般模型



边带滤波器

$$h(t) \Leftrightarrow H(\omega)$$

$$s_m(t) = [m(t) \cos \omega_c t] * h(t)$$

$$S_m(\omega) = \frac{1}{2} [M(\omega + \omega_c) + M(\omega - \omega_c)] H(\omega)$$

§ 19.1.1 常规调幅 (AM)

■ AM表达式

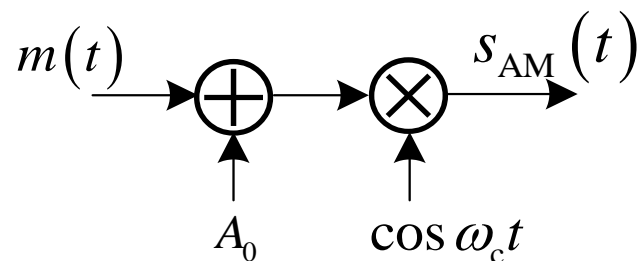
$$\begin{aligned}s_{\text{AM}}(t) &= [A_0 + m(t)] \cos \omega_c t \\ &= A_0 \cos \omega_c t + m(t) \cos \omega_c t\end{aligned}$$

载波项

边带项

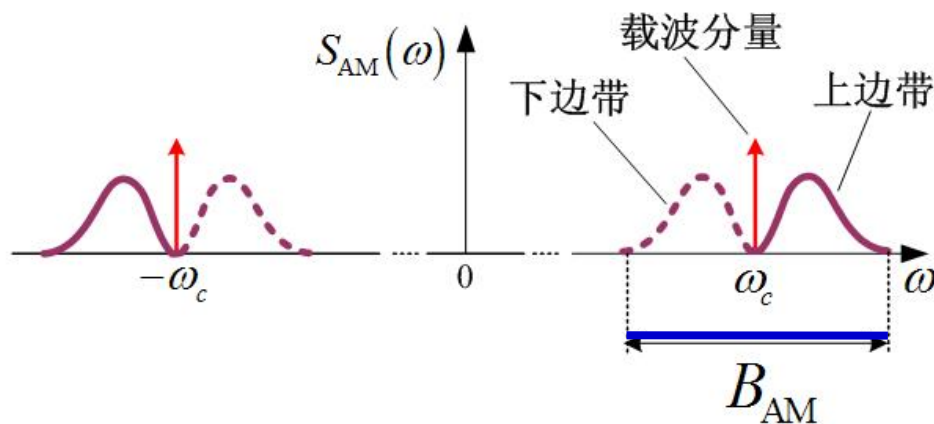
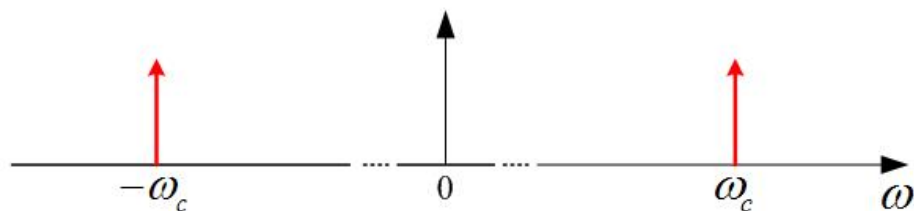
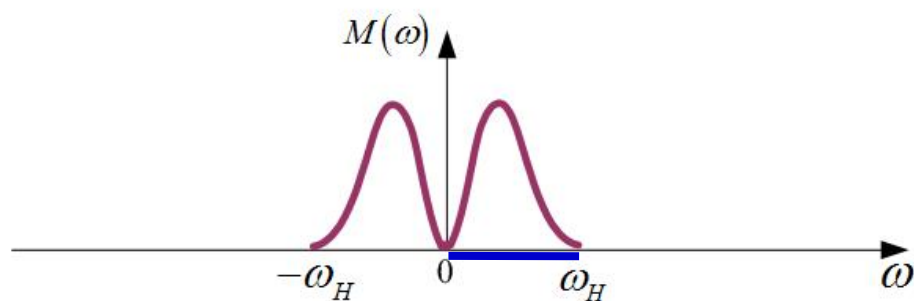
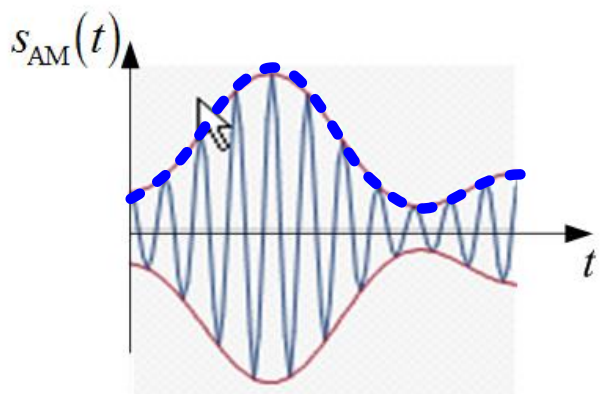
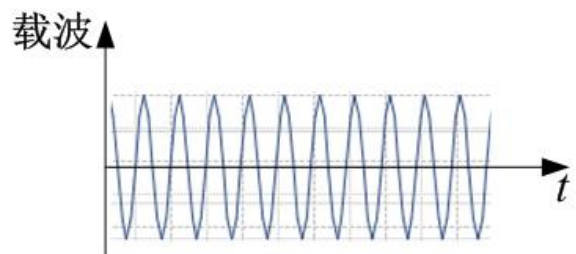
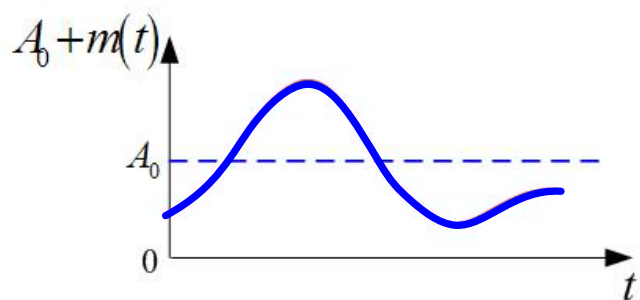
条件： $\overline{m(t)} = 0$ 和 $|m(t)|_{\max} \leq A_0$

■ AM调制器



$$S_{\text{AM}}(\omega) = \pi A_0 [\delta(\omega + \omega_c) + \delta(\omega - \omega_c)] + \frac{1}{2} [M(\omega + \omega_c) + M(\omega - \omega_c)]$$

■ AM波形和频谱



■ AM信号的特点

- $|m(t)|_{\max} \leq A_0$ 时，AM波的包络正比于调制信号 $m(t)$ ，故可采用包络检波。

- AM的频谱由载频分量、上边带和下边带组成。

- AM传输带宽是调制信号带宽的两倍：

$$B_{\text{AM}} = 2f_H$$

- AM的优势在于接收机简单，广泛用于中短调幅广播。

■ AM信号的缺点

$$s_{\text{AM}}(t) = A_0 \cos \omega_c t + m(t) \cos \omega_c t$$

- AM信号功率:

$$P_{\text{AM}} = \frac{A_0^2}{2} + \frac{\overline{m^2(t)}}{2} = P_c + P_s$$


载波功率 边带功率

- 调制效率（功率利用率）：

$$\eta_{\text{AM}} = \frac{P_s}{P_{\text{AM}}} = \frac{\overline{m^2(t)}}{A_0^2 + \overline{m^2(t)}}$$

$\because |m(t)|_{\max} \leq A_0 \quad \therefore \overline{m^2(t)} \leq A_0^2$ 故 $\eta_{\text{AM}} \leq 50\%$ **AM功率利用率低！**

载波 ---不含有用信息，却“浪费”大部分的发射功率。当然
AM正是利用这种“浪费”去换取解调的便宜，即包检。

边带 ---包含有用信息 $m(t)$ ， 满调幅时，边带功率最大。

定义**调幅系数** m （用百分比表示时，又称**调幅度**）

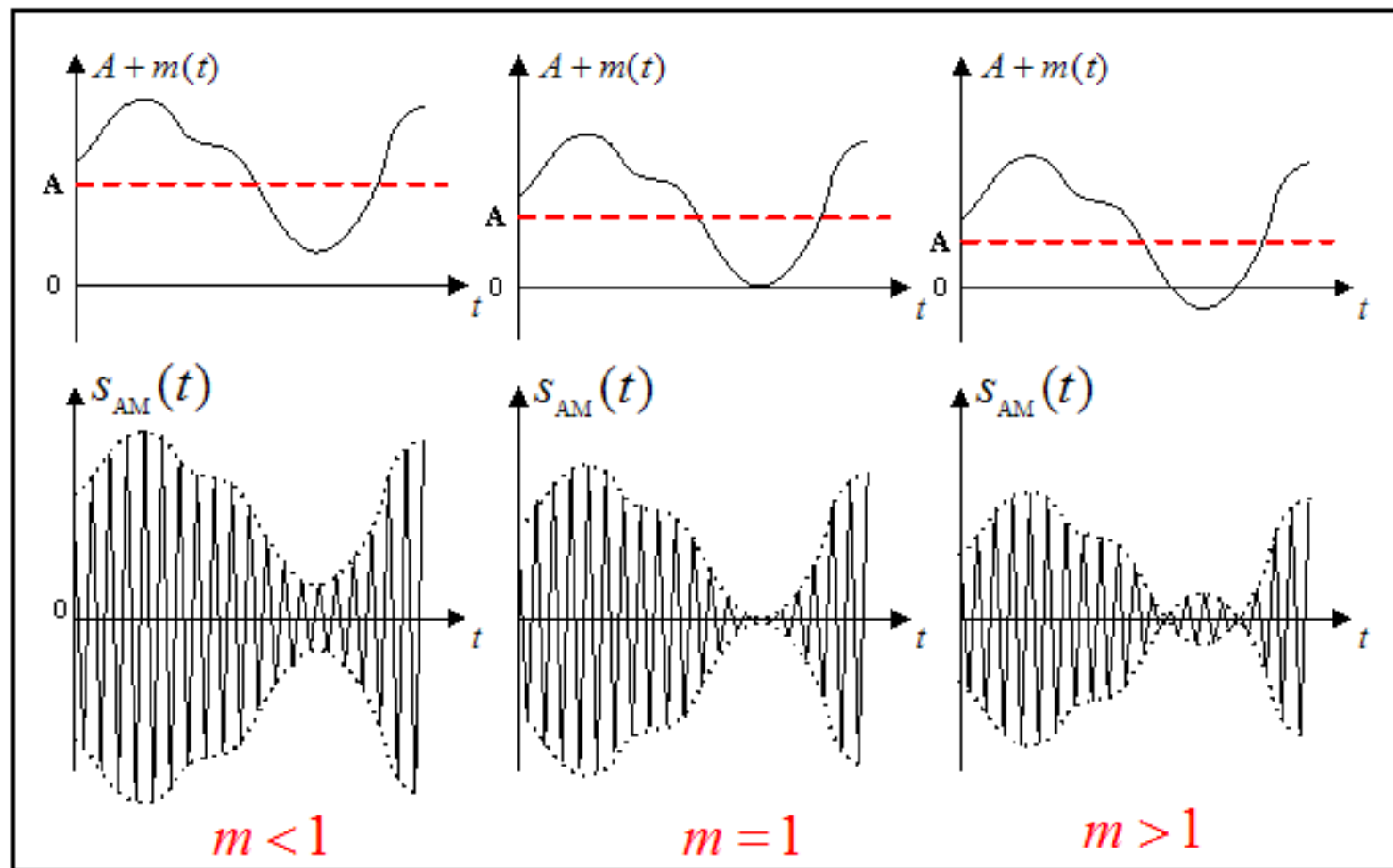
——反映基带信号改变载波幅度的程度：

$$m = \frac{|m(t)|_{\max}}{A_0}$$

$m < 1$ 正常调幅

$m > 1$ 过调幅

$m = 1$ 临界状态，满调幅（100%）



$$\eta_{\text{AM}} = \frac{P_s}{P_{\text{AM}}} = \frac{\overline{m^2(t)}}{A_0^2 + \overline{m^2(t)}}$$

$$m = \frac{|m(t)|_{\max}}{A_0}$$

设 $m(t) = A_m \cos \omega_m t$ (单音正弦)，则 $\overline{m^2(t)} = A_m^2 / 2$

$$\eta_{\text{AM}} = \frac{A_m^2}{2A_0^2 + A_m^2} = \frac{A_m^2 / A_0^2}{2 + A_m^2 / A_0^2} = \frac{m^2}{2 + m^2}$$

当 $m=1$ (满调幅) 时，AM 调制效率的最大值仅为 $1/3$ ，

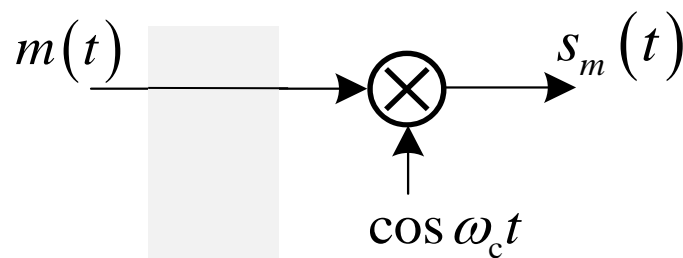
可见，AM 的功率利用率很低。

Q&A

如何提高调制效率？

——抑制载波！

$$s_{\text{AM}}(t) = [\text{ } + m(t)] \cos \omega_c t$$
$$= \text{ } + m(t) \cos \omega_c t$$



条件： $\overline{m(t)} = 0$

$$S_{\text{AM}}(\omega) = \text{ } + \frac{1}{2} [M(\omega + \omega_c) + M(\omega - \omega_c)]$$

§ 19.1.2 双边带调制 (DSB-SC)

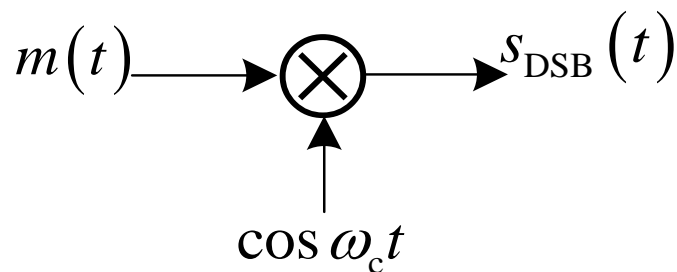
double-sideband suppressed carrier

■ DSB表达式

$$s_{\text{DSB}}(t) = m(t) \cos \omega_c t$$

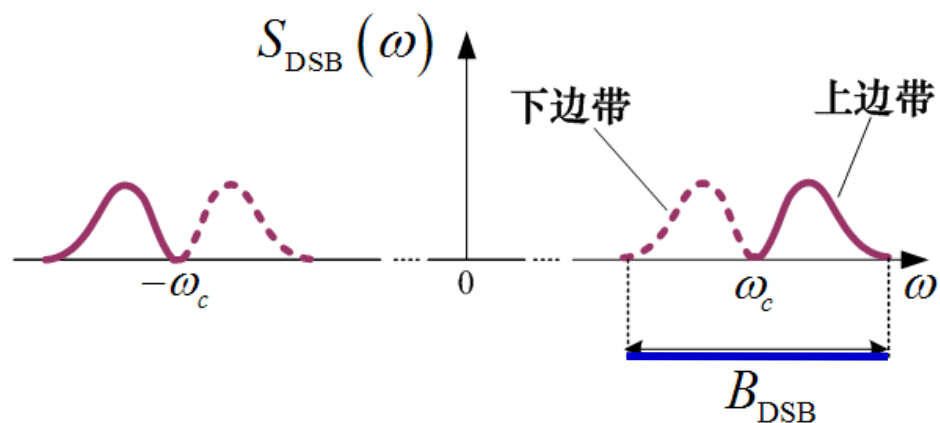
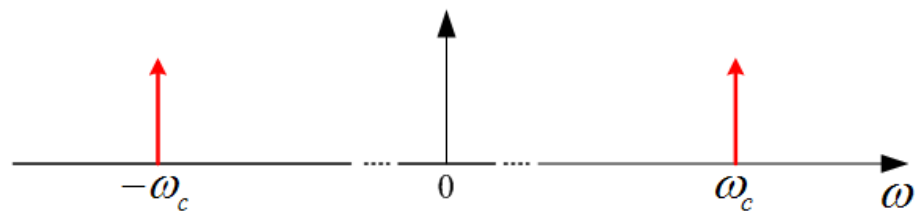
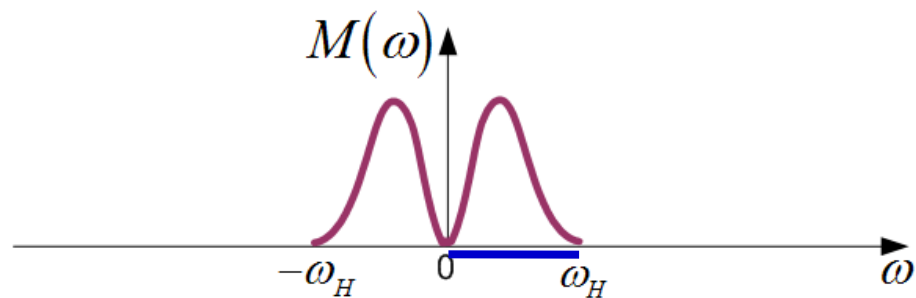
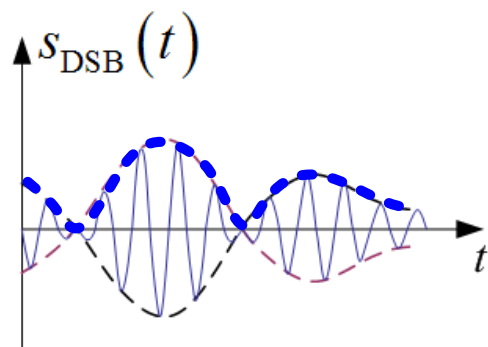
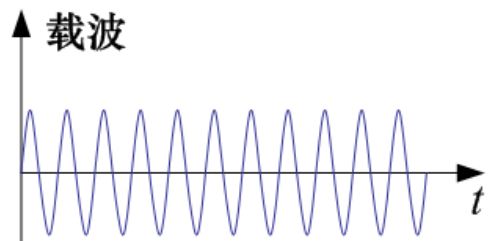
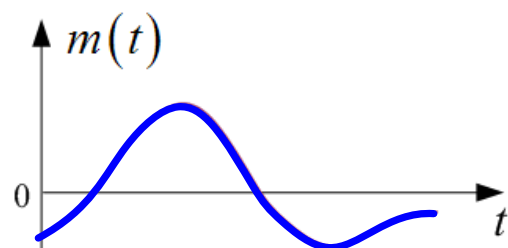
条件: $\overline{m(t)} = 0$

■ DSB调制器



$$S_{\text{DSB}}(\omega) = \frac{1}{2} [M(\omega + \omega_c) + M(\omega - \omega_c)]$$

■ DSB波形和频谱



■ DSB信号的特点

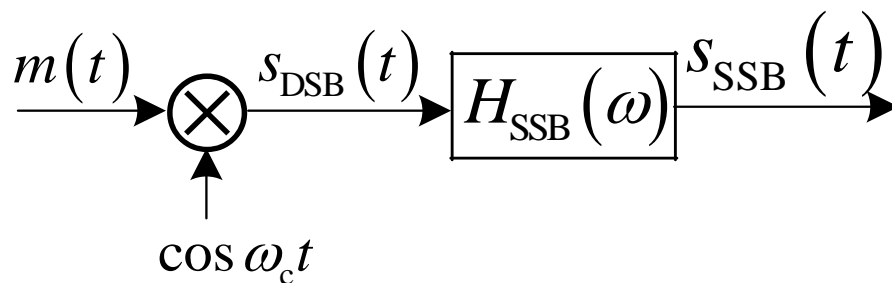
- 包络不再与 $m(t)$ 成正比；当 $m(t)$ 改变符号时载波相位反转，故不能采用包络检波，需相干解调。
- 无载频分量，只有上、下边带。
- 带宽与AM的相同： $B_{\text{DSB}} = B_{\text{AM}} = 2f_H$
- 调制效率100%，即功率利用率高。
- 主要用作SSB、VSB的技术基础，调频立体声中的差信号调制等。

能否只传输
一个边带？

§ 19.1.3 单边带调制 (SSB)

■ SSB信号的产生

(1) 滤波法



原理：

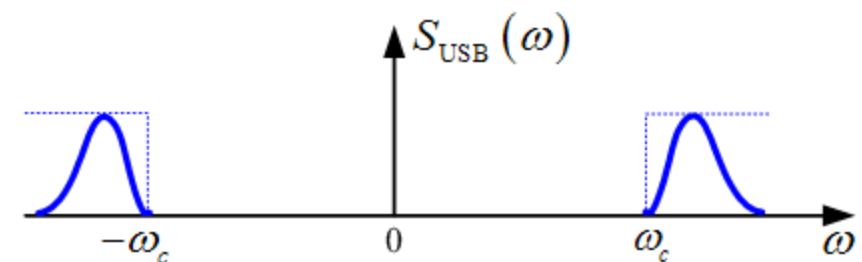
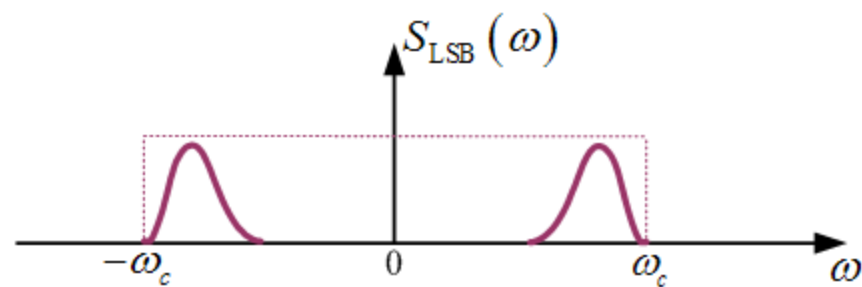
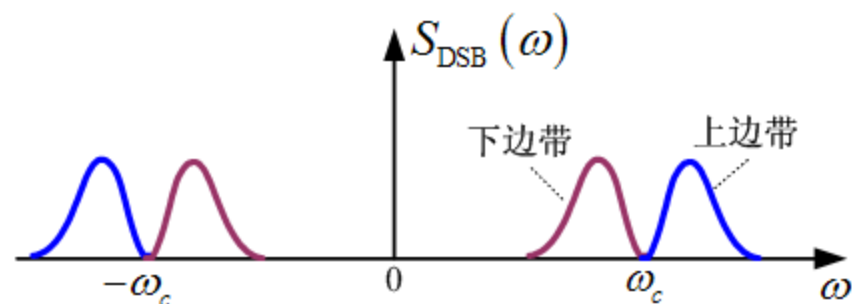
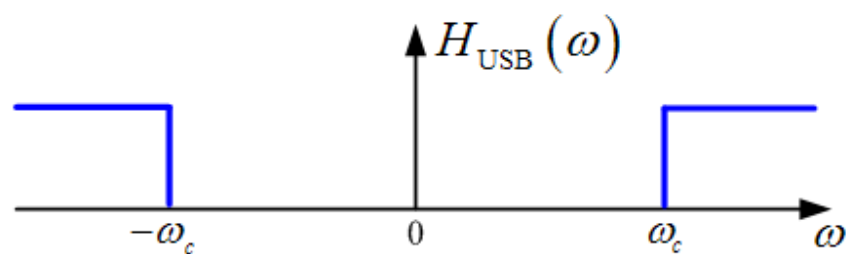
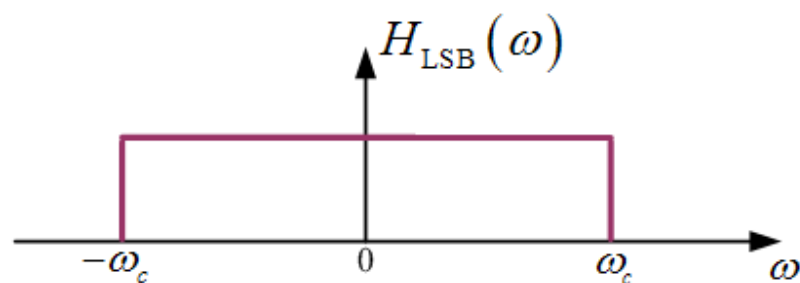
先形成DSB信号，边带滤波即得上或下边带信号。

要求：

滤波器 $H_{\text{SSB}}(\omega)$ 在载频处具有陡峭的截止特性。

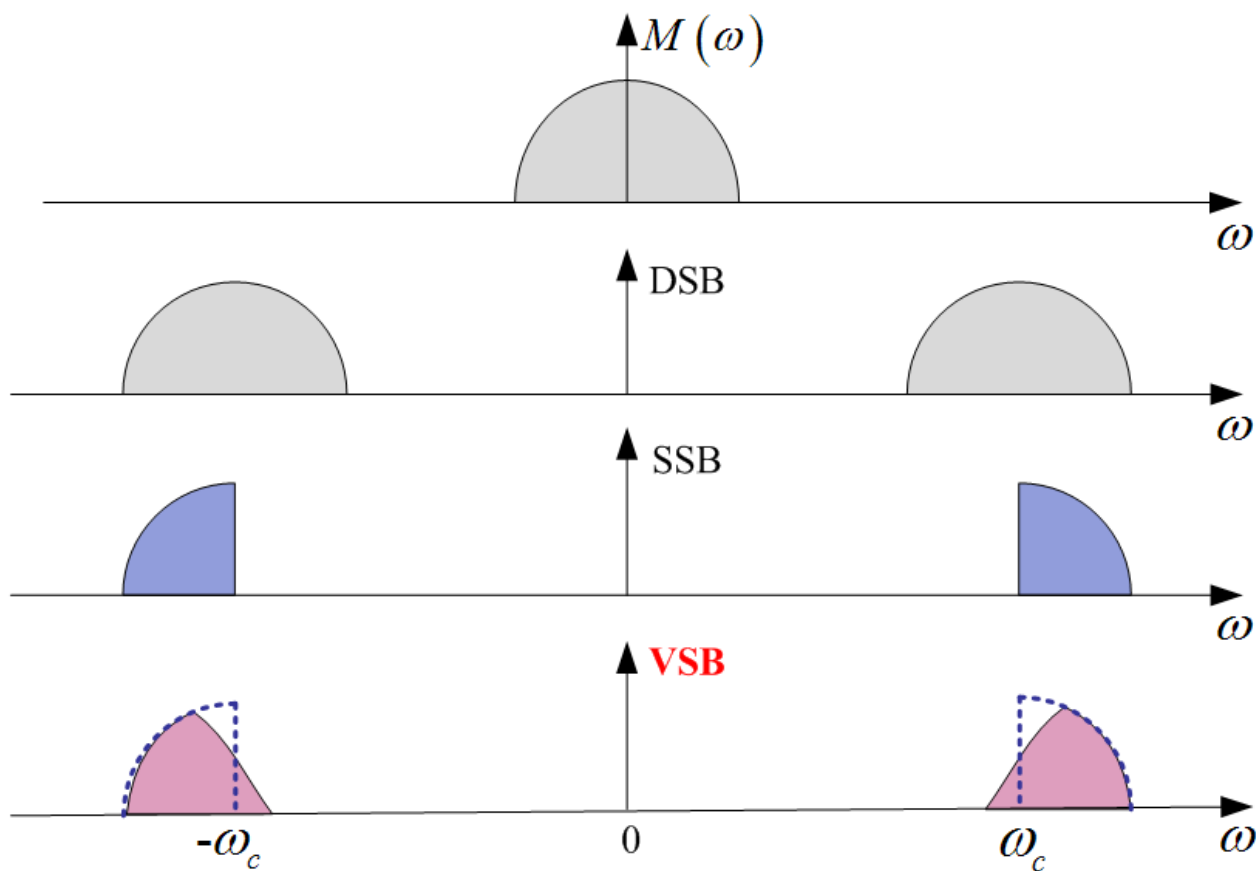
技术难点之一

边带滤波特性 $H_{SSB}(\omega)$



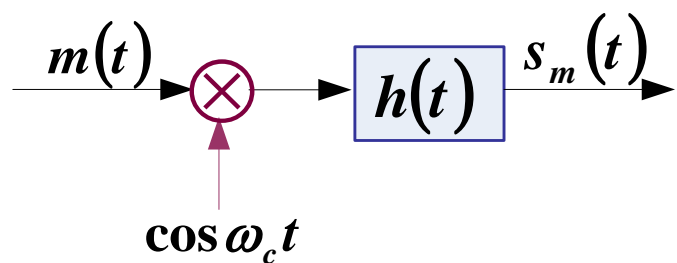
§ 19.1.4 残留边带调制 (VSB)

——介于SSB与DSB之间的折中方案。



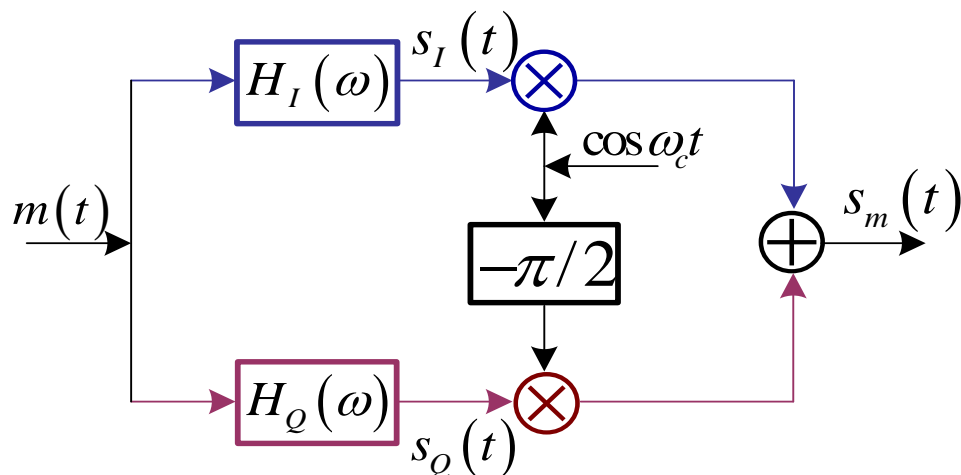
§ 19.1.5 线性调制（幅度调制）的一般模型

■ 滤波法



$$h(t) \Leftrightarrow H(\omega)$$

■ 相移法

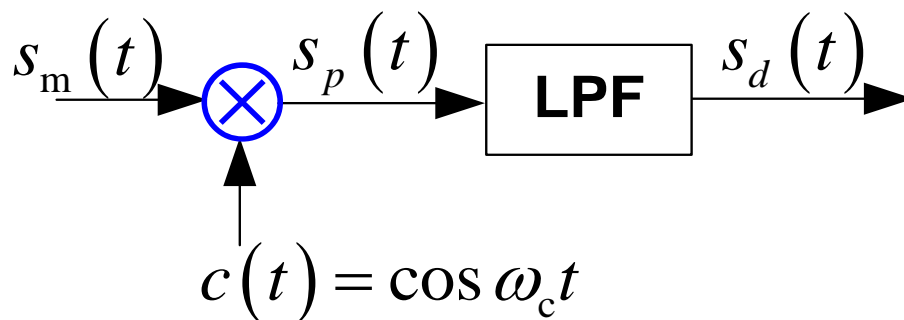


$$s_m(t) = [m(t) \cos \omega_c t] * h(t)$$

$$S_m(\omega) = \frac{1}{2} [M(\omega + \omega_c) + M(\omega - \omega_c)] H(\omega)$$

§ 19.1.6 相干解调 与 包络检波

■ 相干解调

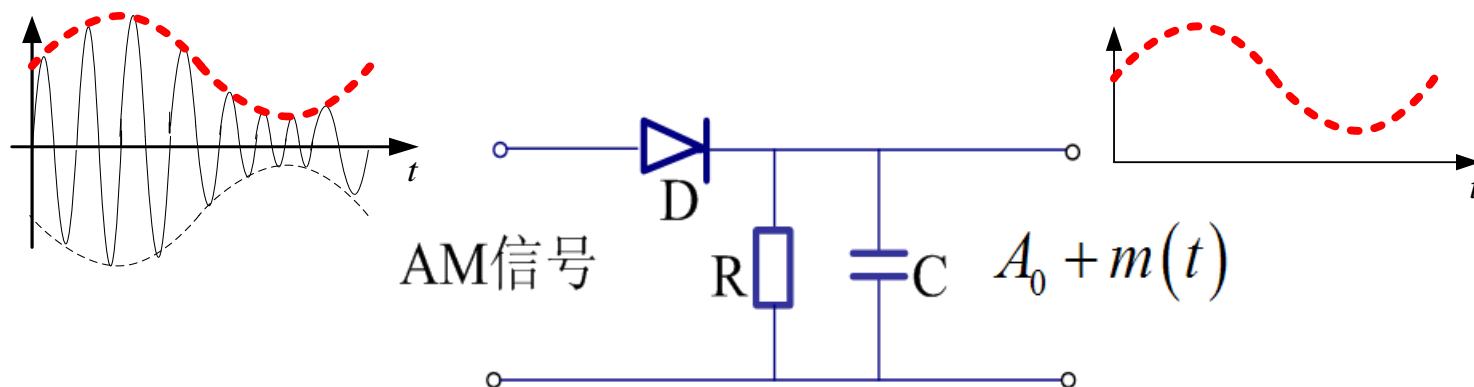


适用： AM、DSB、SSB、VSB

特点： 无门限效应

要求： 载波同步

■ 包络检波



适用：AM 信号

优势：简单、无需载波同步

要求： $|m(t)|_{\max} \leq A_0$

§ 19.3 非线性调制（角度调制）原理

■ 概述

- 角度调制：FM和PM的总称。
- 载波的幅度恒定，而频率或相位受调制。
- 属于非线性调制。
- 抗噪声性能优于幅度调制——优势。

§ 19.3.1 角度调制的基本概念

■ 1 角调信号一般表达式

载波的恒定振幅

$$s_m(t) = A \cos[\omega_c t + \varphi(t)]$$

$[\omega_c t + \varphi(t)]$ - 已调信号的瞬时相位



相对于 $\omega_c t$ 的瞬时相位偏移

$[\omega_c + d\varphi(t)/dt]$ - 已调信号的瞬时角频率



相对于 ω_c 的瞬时角频偏

角调信号:

$$s_m(t) = A \cos[\omega_c t + \varphi(t)]$$

PM:

$$\varphi(t) = K_p m(t)$$

$$K_p = \text{rad/V}$$

$$s_{\text{PM}}(t) = A \cos[\omega_c t + K_p m(t)]$$

FM:

$$\frac{d\varphi(t)}{dt} = K_f m(t)$$

$$K_f = \text{rad/(s} \cdot \text{V)}$$

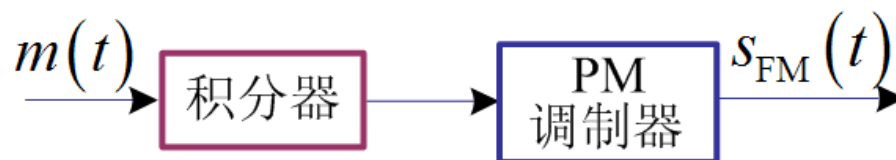
$$s_{\text{FM}}(t) = A \cos[\omega_c t + K_f \int m(\tau) d\tau]$$

■ 2 PM与 FM的关系

- **PM** 是 相位偏移 随 $m(t)$ 作 线性 变化;
- **FM** 是 相位偏移 随 $m(t)$ 的**积分**作 线性 变化。



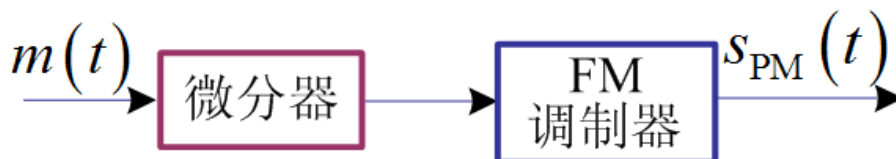
(a) 直接调频



(c) 间接调频



(b) 直接调相



(d) 间接调相



若预先不知 $m(t)$ 形式, 能否判断已调信号是 **PM** 还是 **FM** 信号?

§ 19.3.4 调频信号的产生与解调

■ 1 调频信号的产生

1) 直接法



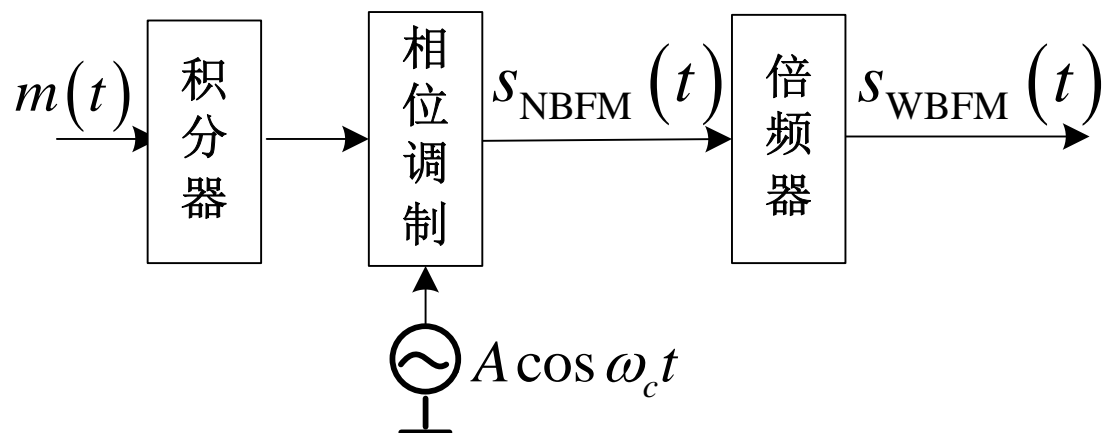
原理： 调制电压控制振荡器的频率：

$$\omega_i(t) = \omega_0 + K_f m(t)$$

优点： 电路简单、可获得较大的频偏；

缺点： 频率稳定度不高，可采用PLL调频器进行改进。

2) 间接法



原理：积分 \rightarrow 调相(NBFM) \rightarrow n次倍频 \rightarrow WBFM

优点：频率稳定度好；

缺点：需要多次倍频和混频，因此电路较复杂。

■ 特点与应用

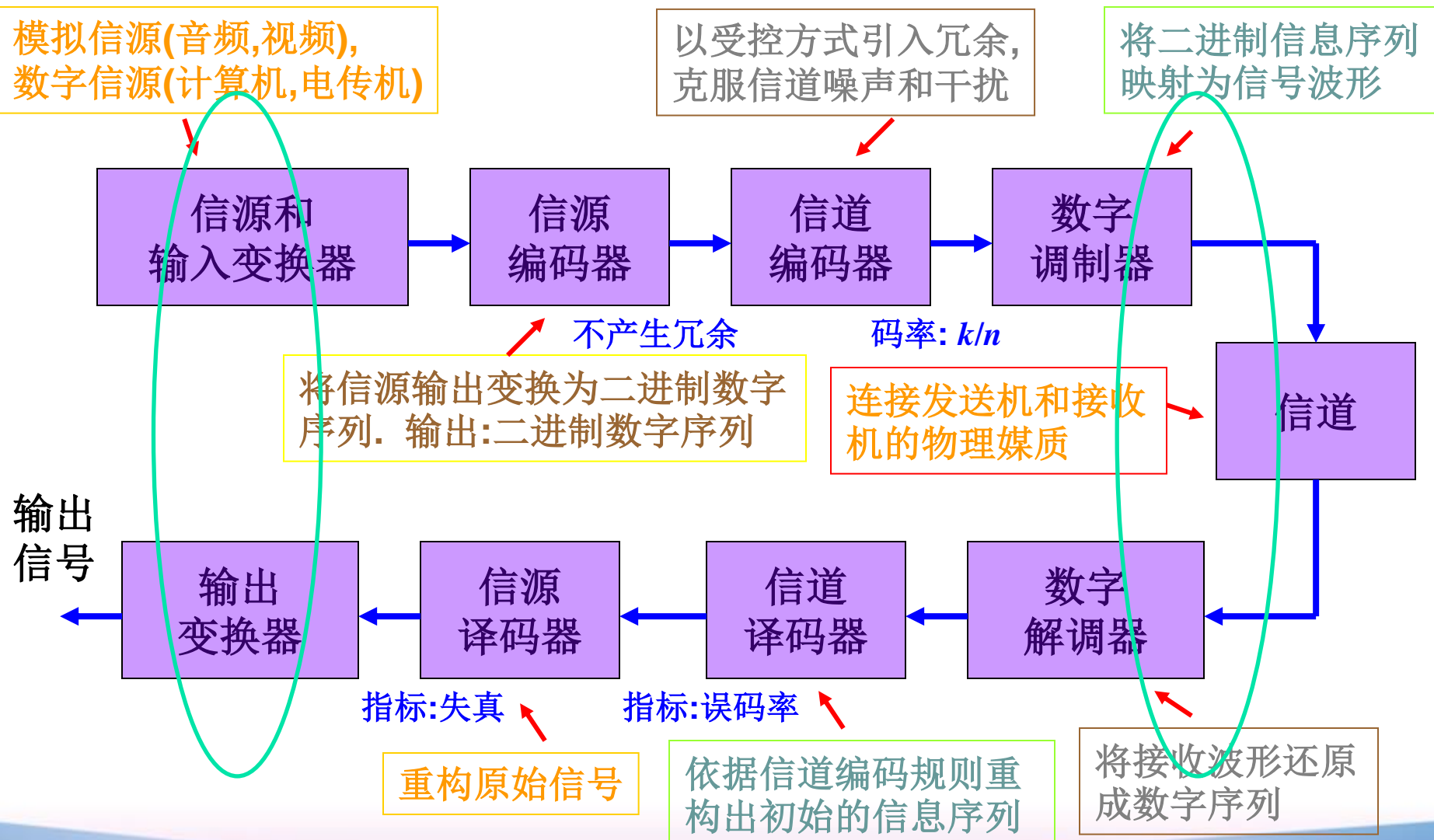
- 1) **AM**: 优点是接收设备简单; 缺点是功率利用率低, 抗干扰能力差。主要用在中波和短波调幅广播。
- 2) **DSB**: 优点是功率利用率高, 带宽与**AM**相同。主要用于调频立体声中的差信号调制, 彩色**TV**中的色差信号调制。
- 3) **SSB**: 优点是功率利用率和频带利用率都较高, 抗干扰能力和抗选择性衰落能力均优于**AM**, 而带宽只有**AM**的一半; 缺点是收发设备都复杂。常用于频分多路复用系统中。
- 4) **VSB**: 抗噪声性能和频带利用率与**SSB**相当。在电视广播等系统中得到了广泛应用。
- 5) **FM**: 抗干扰能力强, 广泛应用于长距离高质量的通信系统中。缺点是频带利用率低, 存在门限效应。

Sampling & Reconstructing

(ADC DAC)

—— 数字信号与模拟信号的桥梁

Sampling & Quantization



§ 20.1

模拟信号数字化

引言

■ 信源编码的作用:

① 压缩编码; ② 模/数转换

■ 为什么要数字化?

■ 模拟信号数字化传输的三个环节:

A/D → 数字方式传输 → D/A

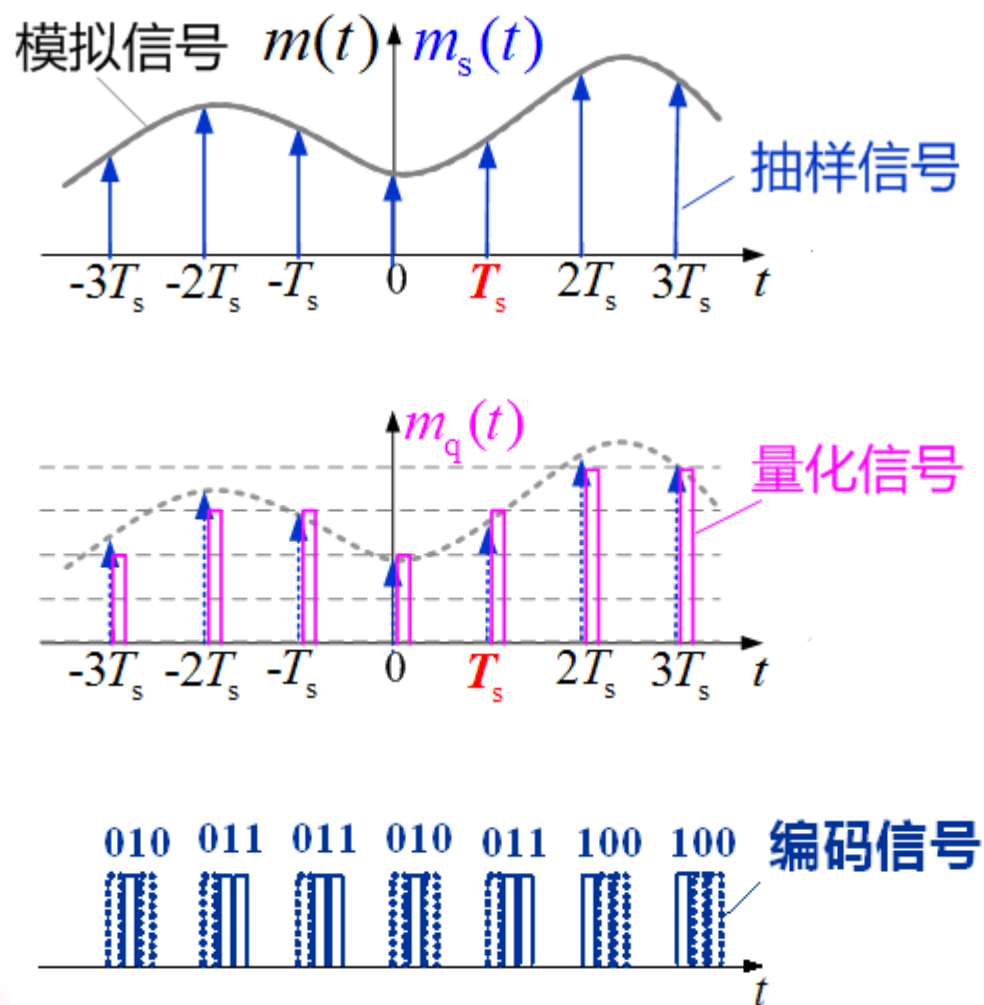
■ A/D转换（数字化编码）的技术:

波形编码和参量编码

■ 波形编码的三个步骤:

“抽样、量化 和 编码”

■ 波形编码的三个步骤——“抽样、量化、编码”



§ 20.2

模拟信号de抽样

抽样定理 --- 模拟信号数字化和时分多路复用的理论基础

§ 20.2.1 低通模拟信号的抽样定理

- **定理：** 最高频率小于 f_H 的模拟信号 $m(t)$ 可由其等间隔的抽样值唯一确定，抽样间隔 T_s 或 抽样速率 f_s 应满足：

$$T_s \leq \frac{1}{2f_H}$$

最高 $T_s = \frac{1}{2f_H}$ --- 奈奎斯特 间隔
Nyquist

$$f_s \geq 2f_H$$

最低 $f_s = 2f_H$ --- 奈奎斯特 速率

例如：对于最高频率为 f_H 的典型电话信号，抽样速率为 f_s

■ **证明：** 设单位冲激序列：

其周期 $T =$ 抽样间隔 T_s

$$\delta_T(t) = \sum_{n=-\infty}^{\infty} \delta(t - nT) \Leftrightarrow \delta_T(f) = \frac{1}{T} \sum_{n=-\infty}^{\infty} \delta(f - n\frac{1}{T})$$

➤ 抽样过程可看作是 $m(t)$ 与 $\delta_T(t)$ 的相乘。因此，理想抽样信号为：

$$m_s(t) = m(t)\delta_T(t) = \sum_{n=-\infty}^{\infty} m(nT_s)\delta(t - nT_s)$$

➤ 其频谱为：

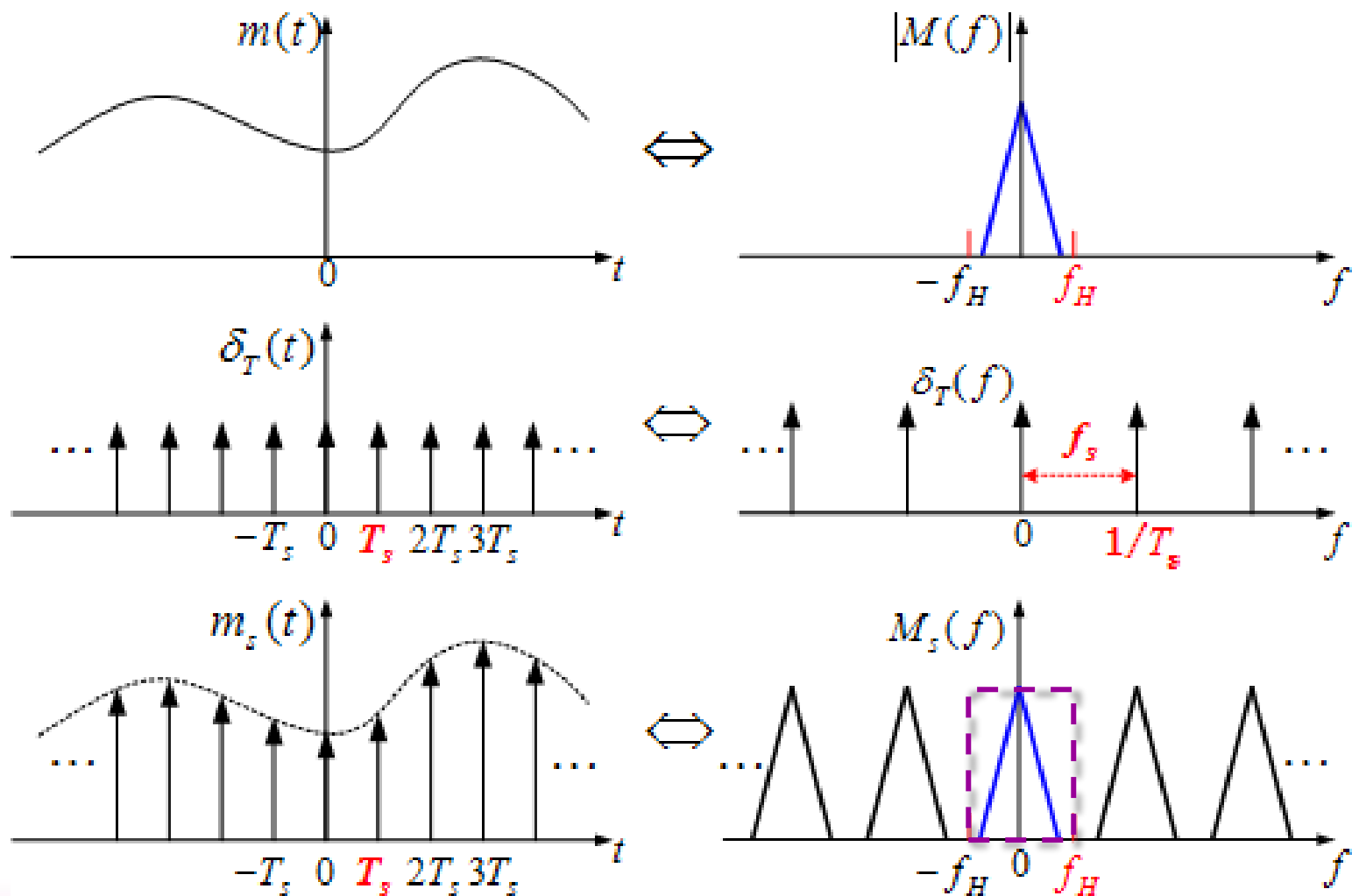
$$M_s(f) = M(f) * \delta_T(f) = \frac{1}{T_s} \left[M(f) * \sum_{n=-\infty}^{\infty} \delta(f - n f_s) \right]$$

$1/T_s$

$$M_s(f) = \frac{1}{T_s} \sum_{n=-\infty}^{\infty} M(f - n f_s) = \frac{1}{T_s} M(f) + \frac{1}{T_s} \sum_{n \neq 0} M(f - n f_s)$$

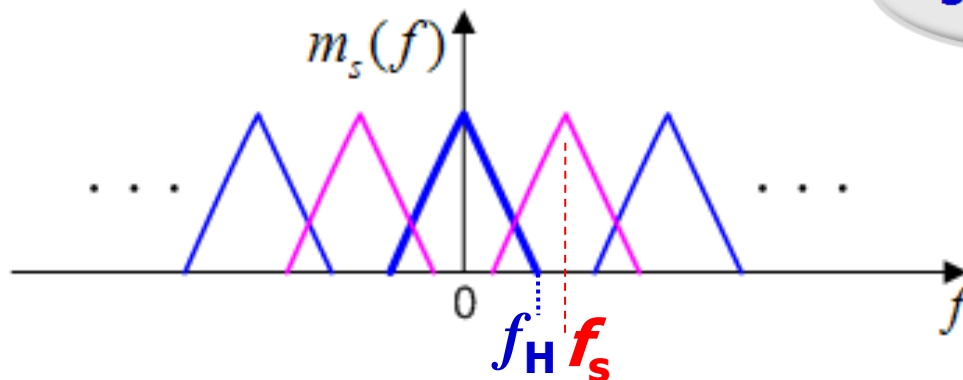
理想抽样过程的波形和频谱:

$$f_s \geq 2f_H$$



➤ 混叠失真:

$$f_s < 2f_H$$



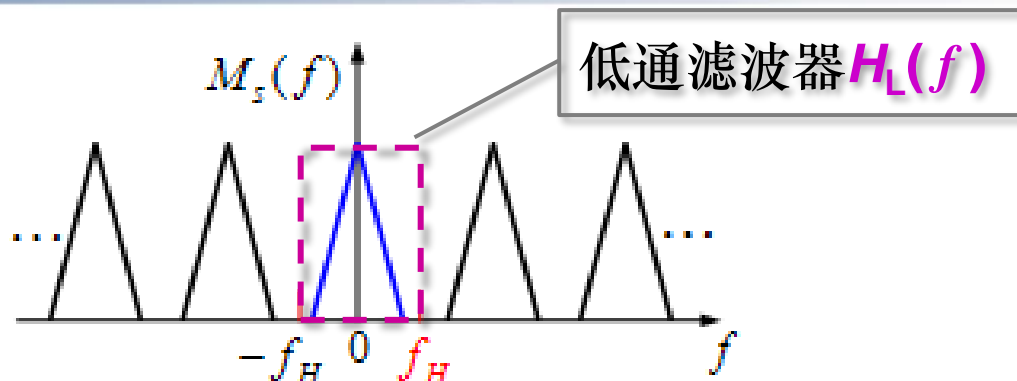
此时，**不能**无失真重建原信号。因此，**抽样速率** 必须满足：

$$f_s \geq 2f_H$$

$$T_s \leq \frac{1}{2f_H}$$

这就从 频域角度 证明了 低通抽样定理。

■ 重建原信号：



由图可见，将 $M_s(f)$ 通过截止频率为 f_H 的理想低通滤波器 $H_L(f)$ 即可取出原信号：

$$M_s(f) \cdot H_L(f) = \frac{1}{T_s} \sum_{n=-\infty}^{\infty} M(f - nf_s) \cdot H_L(f) = \frac{1}{T_s} M(f)$$

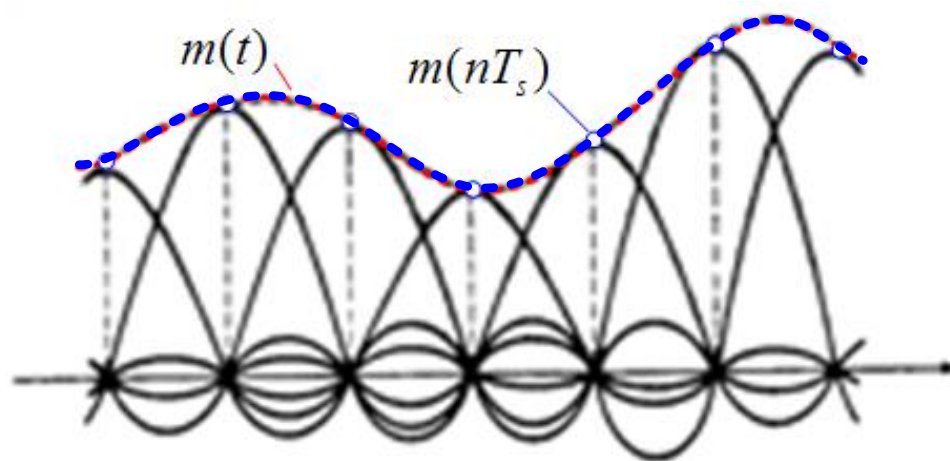
$$\left\{ \begin{aligned} M_s(f) &\Leftrightarrow m_s(t) = m(t)\delta_T(t) = \sum_{n=-\infty}^{\infty} m(nT_s)\delta(t - nT_s) \\ H_L(f) &\Leftrightarrow h_L(t) = 2f_H \text{Sa}(2\pi f_H t) \end{aligned} \right.$$

$$m_s(t) * h_L(t) = \sum_{n=-\infty}^{\infty} m(nT_s) \delta(t - nT_s) * 2f_H \text{Sa}(2\pi f_H t)$$

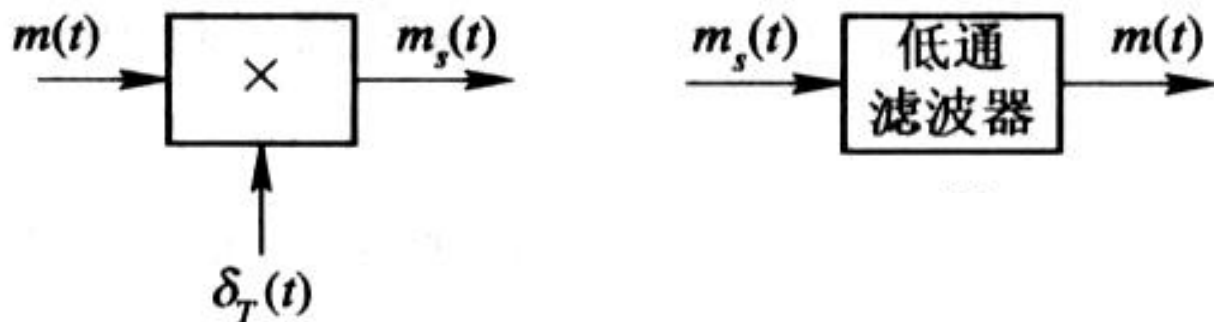
$$= 2f_H \sum_{n=-\infty}^{\infty} m(nT_s) \frac{\sin 2\pi f_H (t - nT_s)}{2\pi f_H (t - nT_s)}$$

$$= m(t)$$

内插公式



■ 抽样与恢复原理框图:



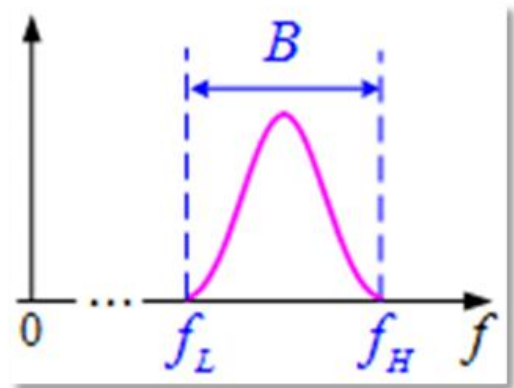
- 欲传 $m(t)$ ，只需传 $m_s(t)$ ，收端根据其抽样值就能无失真地重建原信号 $m(t)$ ，条件是：

$$f_s \geq 2f_H$$

§ 3.2.2 带通模拟信号的抽样定理

- **定理：** 设带通型模拟信号 $m(t)$ 的频率范围限制在 $(f_L \leq f < f_H)$ 内，且 $f_L > B$ ，则最小抽样速率为：

$$f_s = 2B(1 + \frac{k}{n})$$

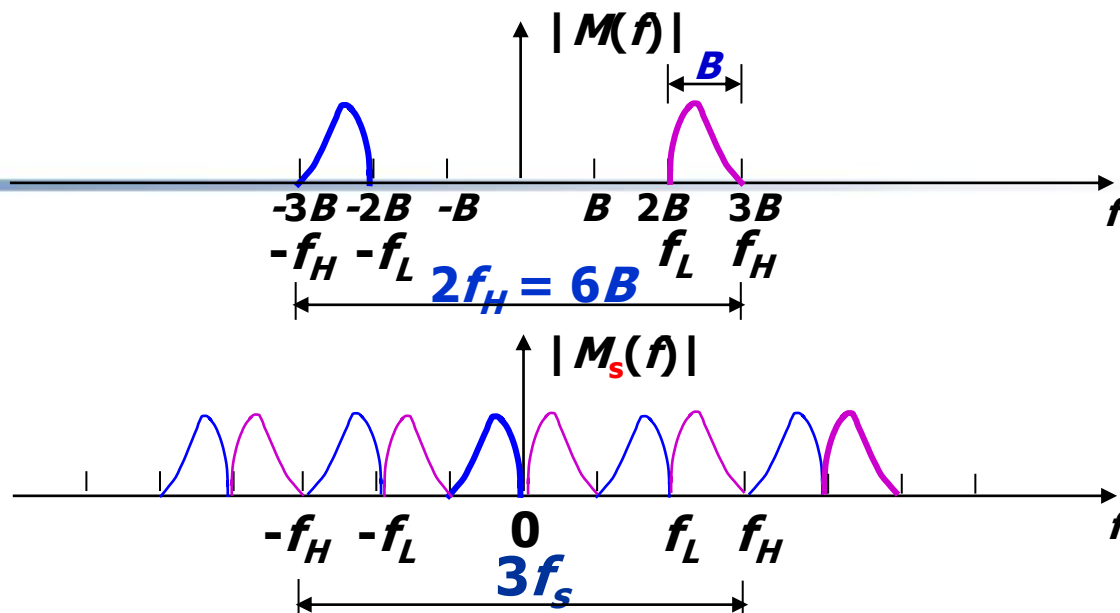


式中， $B=f_H-f_L$ ； n 为商 (f_H/B) 的整数部分； k 为商 (f_H/B) 的小数部分

(a) $f_H = nB$

$$f_H = 3B$$

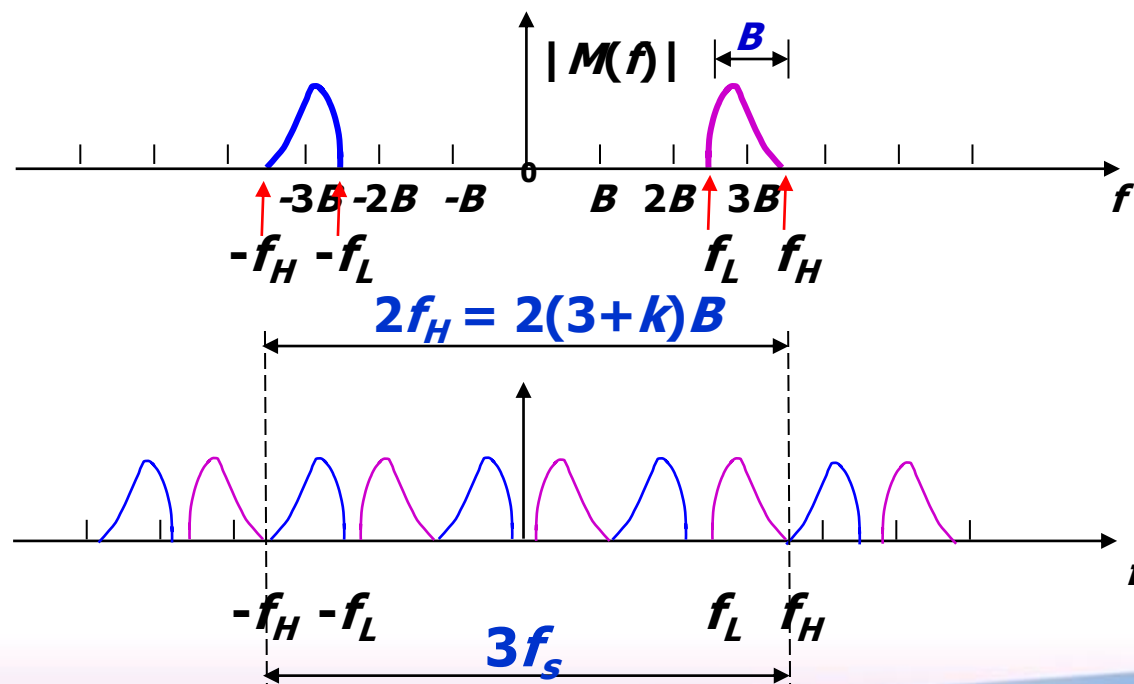
$$f_s = 2B$$



(b) $f_H = nB + kB$

$$f_H = 3B + kB$$

$$2(3+k)B = 3f_s$$

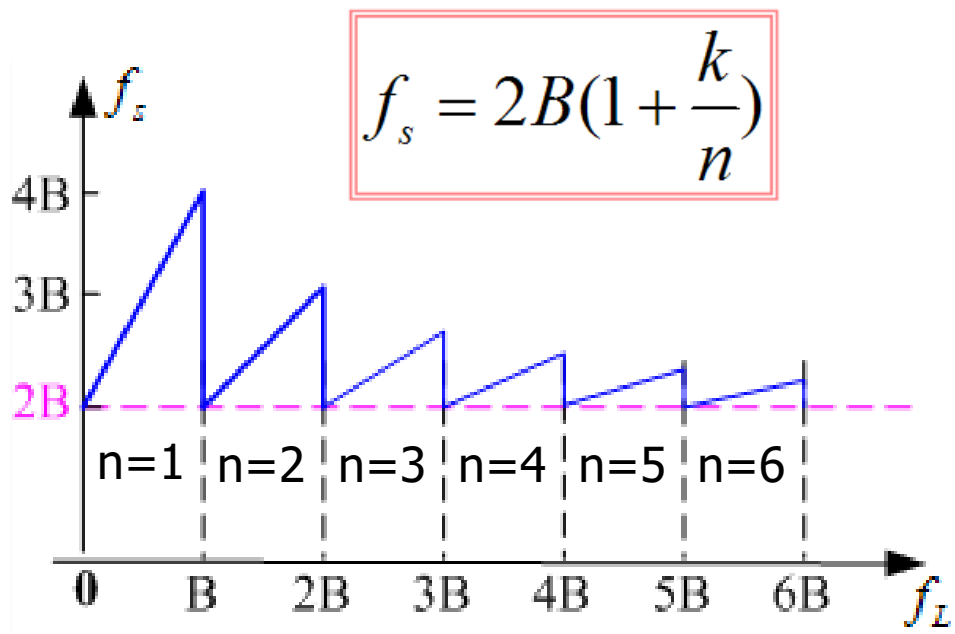


推广:

n = 任意整数

$$2(n+k)B = nf_s$$

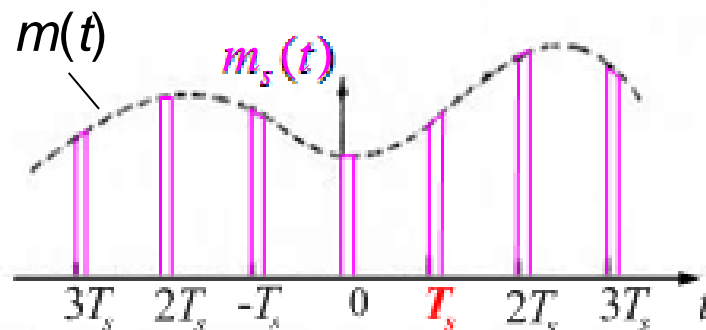
■ f_s 与 f_L 关系



- $f_L = 0$ 时, $f_s = 2B = 2f_H$ --- 低通抽样情况
- f_L 很大时, 高频窄带信号情形, $f_s \approx 2B$

■ 实际抽样 1 —— 自然抽样的PAM

➤ **特点**：样值脉冲的幅度随原信号 $m(t)$ 的幅度而变。



$$m_s(t) = m(t)s(t)$$

$$M_s(f) = M(f) * S(f) = M(f) * \frac{A\tau}{T_s} \sum_{n=-\infty}^{\infty} \text{Sa}(\pi\tau n f_s) \delta(f - n f_s)$$

$$M_s(f) = \frac{A\tau}{T_s} \sum_{n=-\infty}^{\infty} \text{Sa}(\pi\tau n f_s) M(f - n f_s)$$

---自然抽样

对比:

$$M_s(f) = \frac{1}{T_s} \sum_{n=-\infty}^{\infty} M(f - n f_s)$$

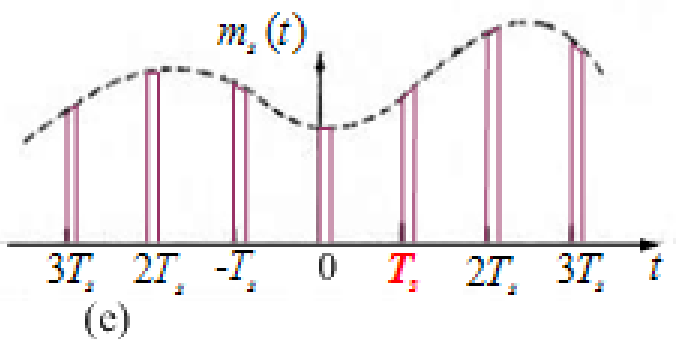
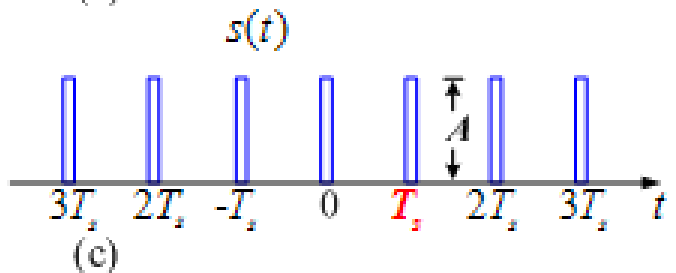
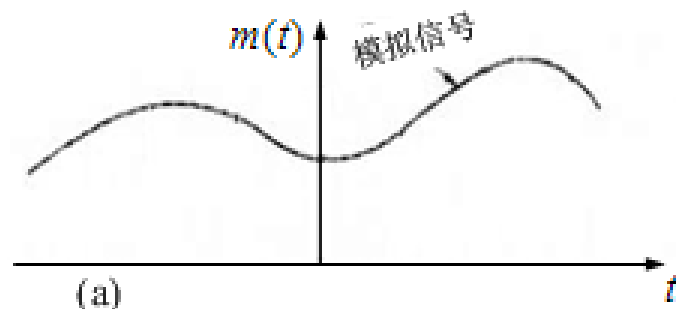
---理想抽样

$$m_s(t) = m(t)\delta_T(t)$$

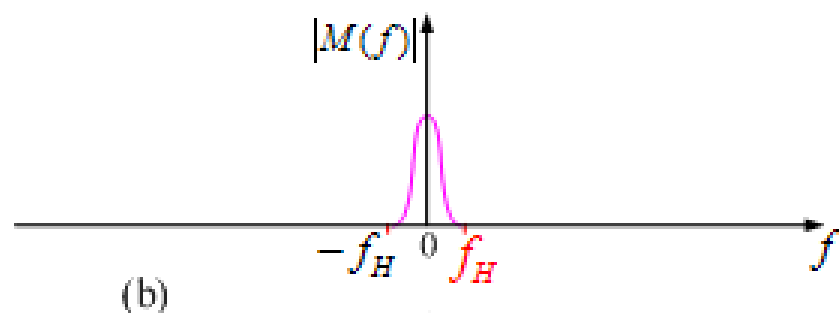
➤ 自然抽样过程的波形和频谱:

$$m_s(t) = m(t)s(t)$$

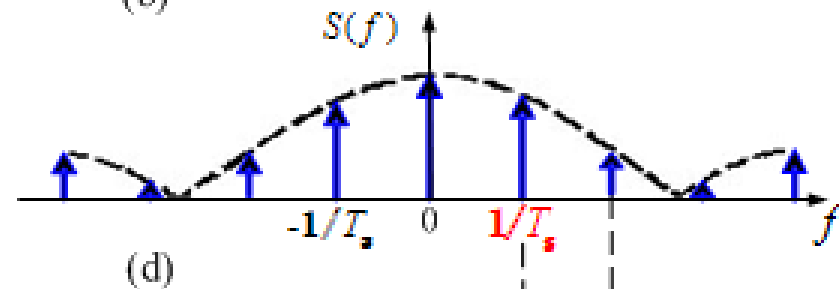
$$M_s(f) = \frac{A\tau}{T_s} \sum_{n=-\infty}^{\infty} \text{Sa}(\pi\tau n f_s) M(f - n f_s)$$



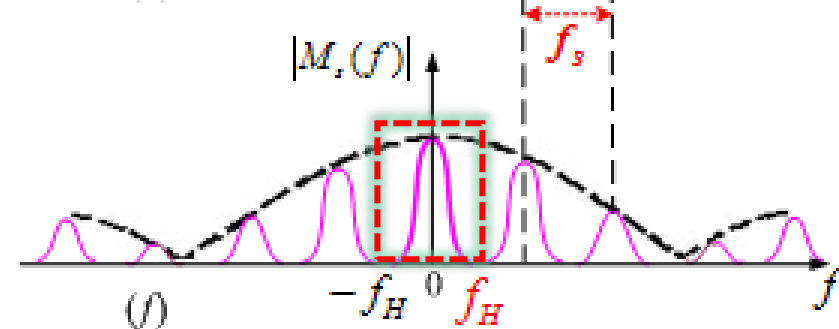
\Leftrightarrow



\Leftrightarrow

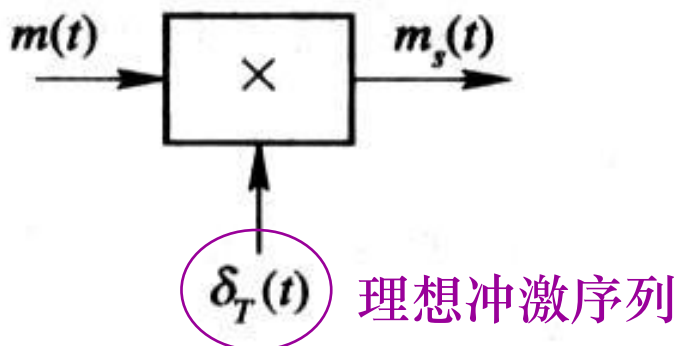


\Leftrightarrow

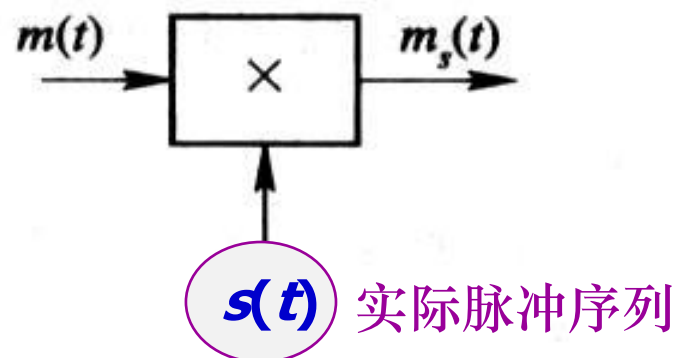


➤ 自然抽样与恢复原理框图:

理想抽样:



自然抽样:

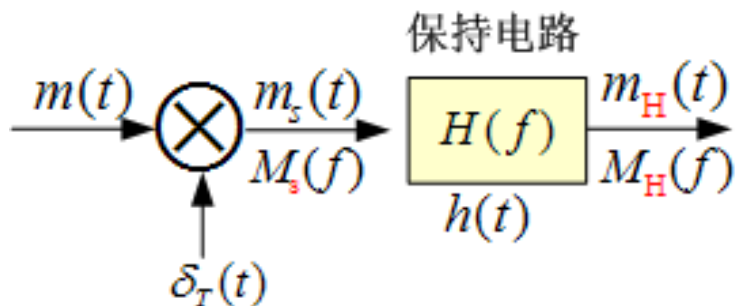


恢复: 均可用理想低通滤波器取出原信号。

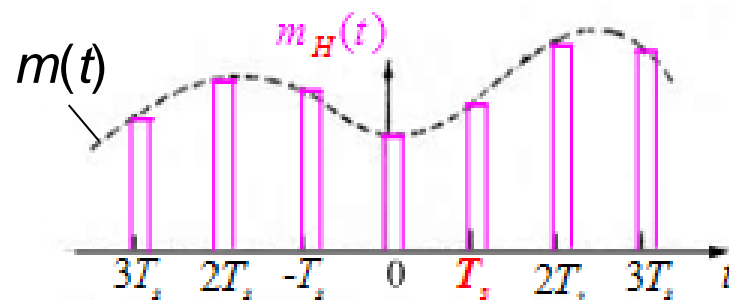
■ 实际抽样2 —— 平顶抽样的PAM

➤ **特点:** 每个样值脉冲的顶部是平坦的。

➤ **产生:** 抽样 保持



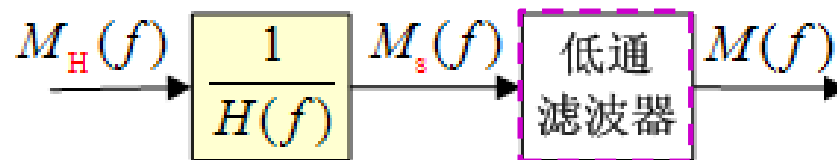
$$M_s(f) = \frac{1}{T_s} \sum_{n=-\infty}^{\infty} M(f - nf_s)$$



$$\begin{aligned} m_H(t) &= m_s(t) * h(t) \\ \Updownarrow \quad \quad \Updownarrow \quad \quad \Updownarrow \\ M_H(f) &= M_s(f) H(f) \end{aligned}$$

$$M_H(f) = \frac{1}{T_s} H(f) \sum_{n=-\infty}^{\infty} M(f - nf_s)$$

➤ **恢复：修正+低通滤波**



$$M_{\text{H}}(f) = \frac{1}{T_s} \sum_{n=-\infty}^{\infty} H(f) M(f - nf_s)$$

$$= \frac{1}{T_s} \underset{n=0}{H(f) M(f)} + \frac{1}{T_s} \sum_{n \neq 0} H(f) M(f - nf_s)$$

$$\hat{M}(f) = M_{\text{H}}(f) \frac{1}{H(f)} H_{\text{L}}(f) = \frac{1}{T_s} M(f)$$

几个采样定理

【采样定理 1】设连续信号 $x(t)$ 的频谱为 $X(f)$ ，以抽样间隔 T 抽样得到的离散信号为 $x(\underline{nT})$ 。如果频谱 $X(f)$ 和抽样间隔 T 满足下面的条件：↵

$$\left\{ \begin{array}{l} X(f) \text{ 有截止频率 } f_c, \text{ 即当 } |f| \geq f_c \text{ 时 } X(f) = 0; \text{↵} \\ T \leq 1/2f_c \text{ 或 } f_c \leq 1/2T; \text{↵} \end{array} \right.$$

则连续信号 $x(t)$ 可由 $x(\underline{nT})$ 精确重构，即：↵

$$x(t) = \sum_{n=-\infty}^{+\infty} x(nT) \frac{\sin \frac{\pi}{T}(t - nT)}{\frac{\pi}{T}(t - nT)} \quad (1.7)$$

并且其频谱 $X(f)$ 也可由离散信号 $x(\underline{nT})$ 完全确定，即↵

$$X(f) = T \sum_{n=-\infty}^{+\infty} x(nT) e^{-j2\pi f nT} = X_T(f), \quad f \in \left[\frac{-1}{2T}, \frac{1}{2T} \right] \quad (1.8)$$

注：该定理描述由采样信号无失真恢复原信号（连续信号）的充分条件。↵

几个采样定理

【采样定理 2】以 T 为采样间隔采样连续信号 $x(t)$ 得到的离散信号 $x(nT)$ ，无论是否满足采样定理 1 的条件，二者的频谱都存在如下关系：↵

$$X_T(f) = \sum_{m=-\infty}^{+\infty} X(f + \frac{m}{T}) \quad (1.9) \quad \leftarrow$$

但当采样定理 1 的条件不满足时，连续信号 $x(t)$ 就不能由离散信号 $x(nT)$ 无失真地恢复了，信号将出现混叠失真。↵

注：1) 该定理描述采样发生频谱混叠 (aliasing) 的现象和规律；↵

2) 可用于降低防混叠滤波器的复杂度，改善系统性能；↵

3) 还能推广到带通信号的采样。↵

几个采样定理

【推论】设 $x(t)$ 是一个下界和上界频率分别为 f_L 和 f_H 的窄带实信号，这里 $f_H - f_L \ll f_L$ ，当且仅当采样频率 f_T 满足 $f_L/(n+1) < f_T < f_H/(n-1)$ (n 为某个合适的整数) 时， $x(t)$ 可用采样信号 $\{x(n)\}$ 精确地重构；如果采用正交采样法采样，那么只要 $f_T > f_H - f_L$ ， $x(t)$ 就可用采样信号 $\{x_I(n) + jx_Q(n)\}$ 精确地重构。↵

注：1) 证明时利用 $X_T(f) = \sum_{m=-\infty}^{+\infty} X(f + \frac{m}{T}) = X(f) * \sum_{m=-\infty}^{\infty} \delta(f - m/T)$ ↵

2) 重构方法：将 $\{x(n)\}$ 每两个样点之间插入 $2n-1$ 个（或更多）的零值样点，使其采样率提高到 $2(n-1)f_H$ 以上，然后用一个带宽为 $|f_H - f_L|$ 中心频率为 $(f_H + f_L)/2$ 的理想带通滤波器滤波即可得到 $x(t)$ 。↵

几个采样定理

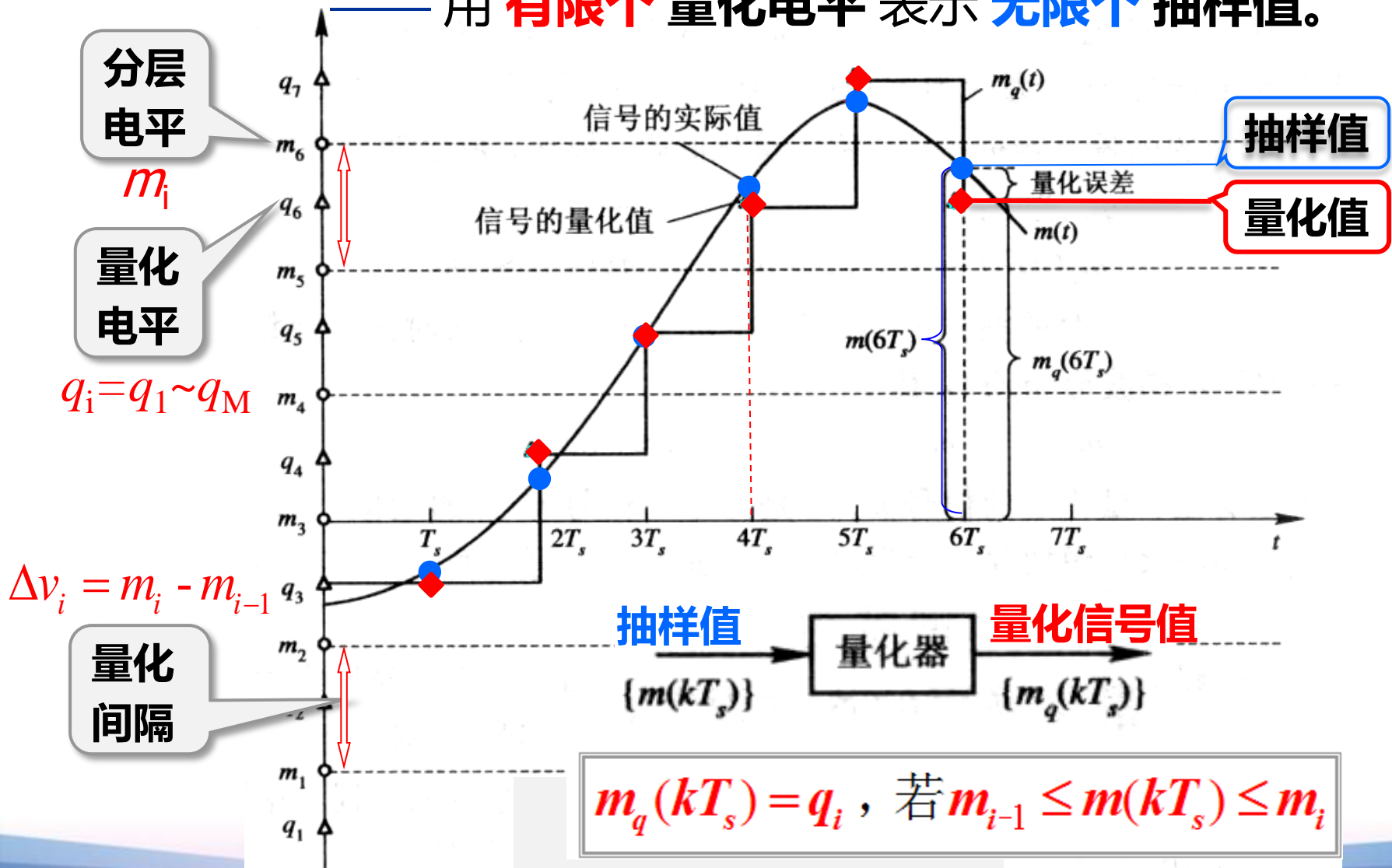
【采样定理 3】 设离散信号 $x(nT)$ 的频谱为 $X_T(f)$ ，对它重新抽样后的离散信号为 $x(mT_1)$ （其中 $T_1 = uT$ ，即做 $u:1$ 下采样）的频谱为 $X_{T_1}(f)$ ，则两个频谱之间的关系为：↵

$$X_{T_1}(f) = \sum_{m=-\infty}^{+\infty} \tilde{X}(f + \frac{m}{T_1}) \quad (1.10)$$

其中
$$\tilde{X}(f) = \begin{cases} X_T(f) & -\frac{1}{2T} \leq f \leq \frac{1}{2T} \\ 0 & \text{其它} \end{cases}$$
 ↵

§ 20.4 量化原理

用 **有限个** 量化电平 表示 **无限个** 抽样值。



谢谢！